

Fig. 1A

GTTTGGCACCTGACTAATTTAAGGAG
GCGTTAATTAAGGGAGGTAAGGCC
CTCGGCCGTTAATGAGGGGTGTTTCG
TAATTATGGGCGGGATCGAATAGCC
GGCAATAATCAATCCTTTAATTATGG
GGCCGTACCTCATGAAATTAGGGGCG
GTTAATTATGGGGTAATAATGGTGC
GTCGGGCTCTGTTAATTATGGGTGG
GGATAATTACGGGTGGCATTTAGGC
GATAAATAGGGGCGTCCCATCCCGT
TAAATTAGGGCTTTAATTACGGTC
TCATTAGAGTGTTAATGAGATGCGC
TAGTTGCTAATTTGTATTAATTAAAG
AGTTATTAATTAAGAATGTTAATTA
GTGTGATAATGAGCTGGTCCGTCCC
ATATTAAGGCGTAATTCGGACAAGA

Fig. 1B

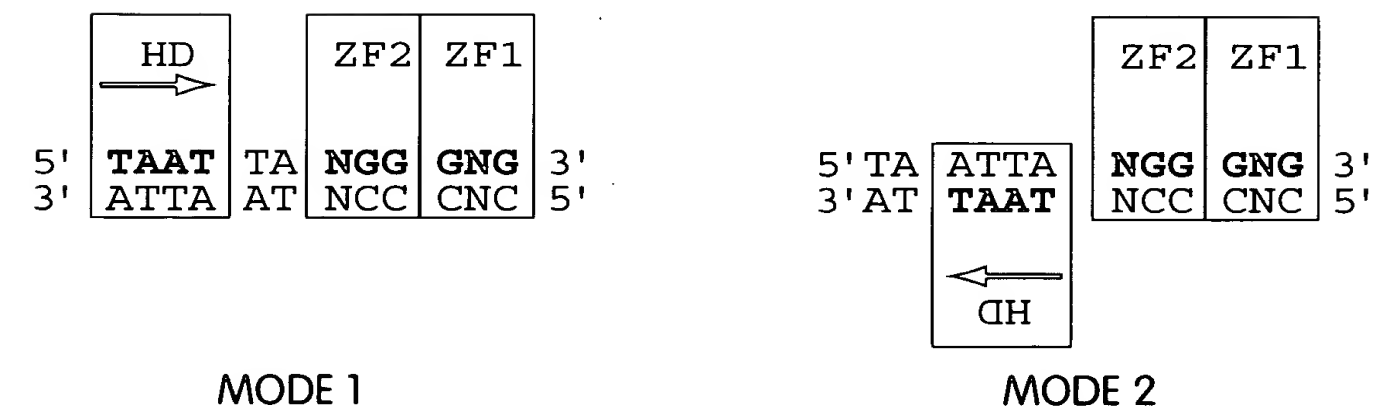


Fig. 1C

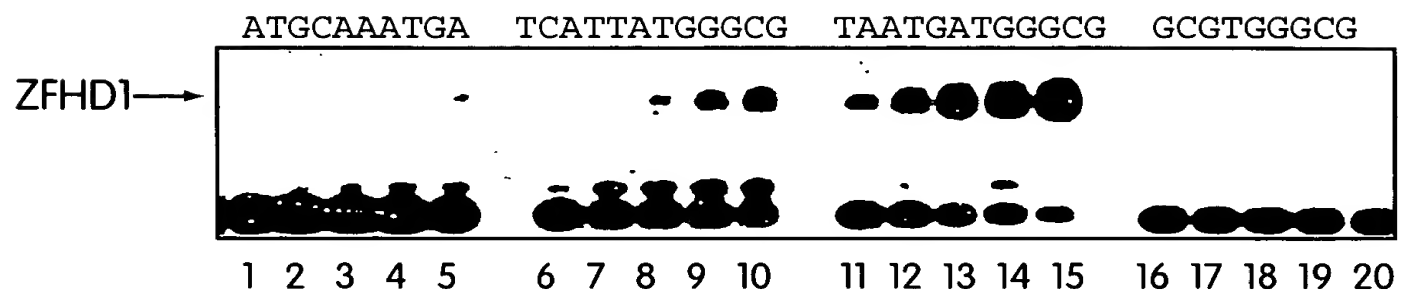


Fig. 2A

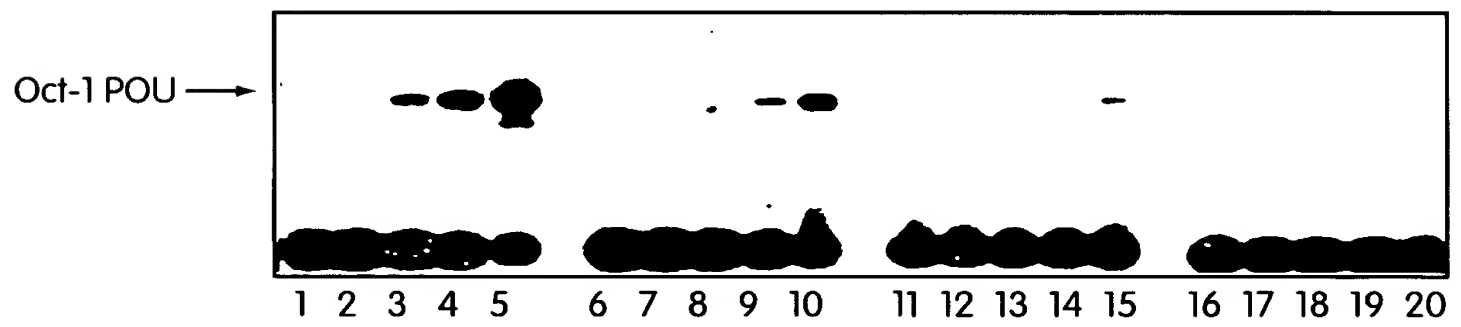


Fig. 2B

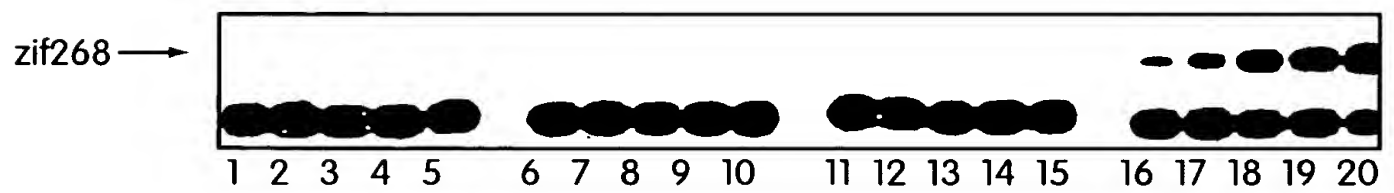


Fig. 2C

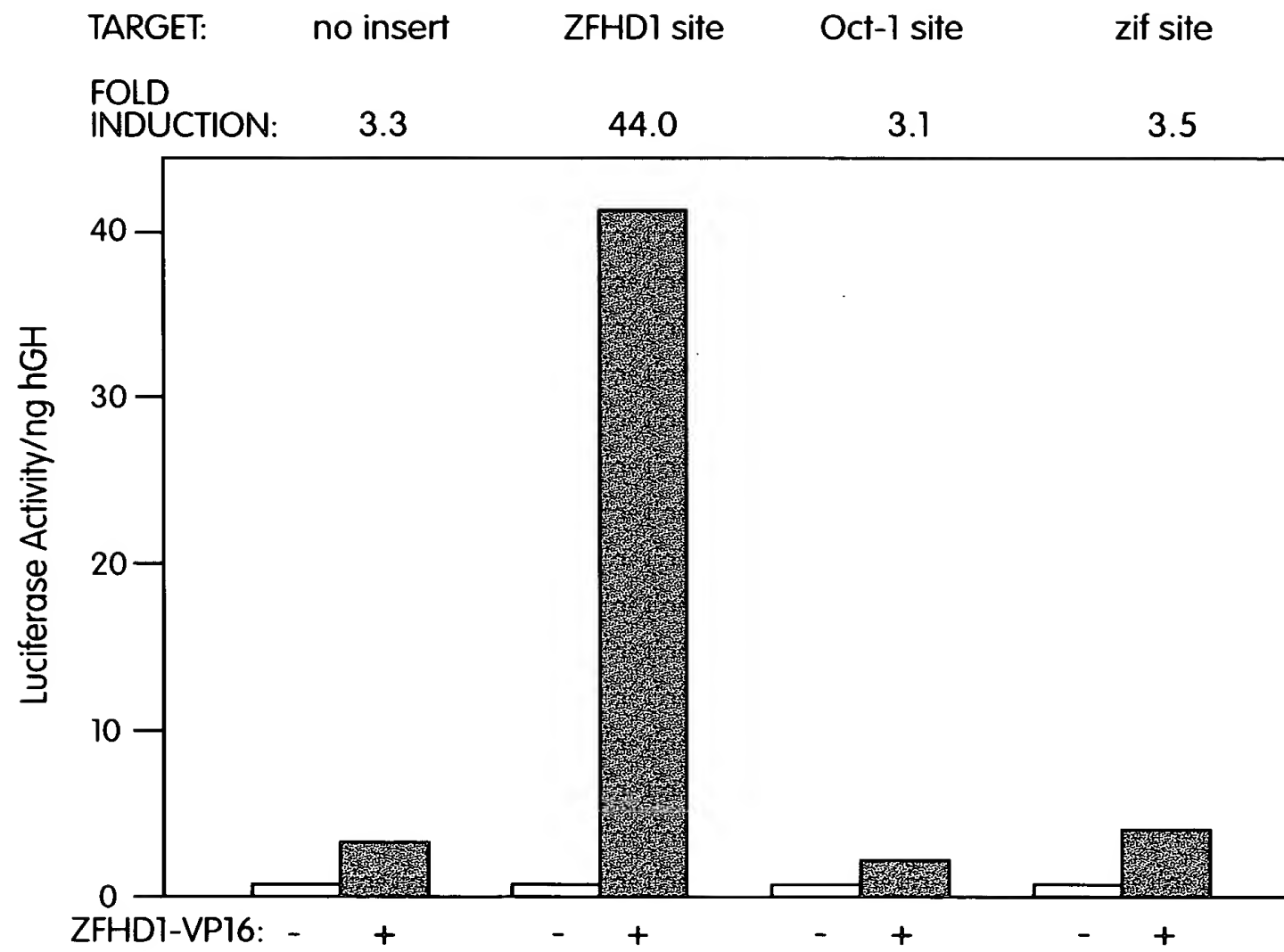


Fig. 3

4/7

HT1080 ZH-AD transf

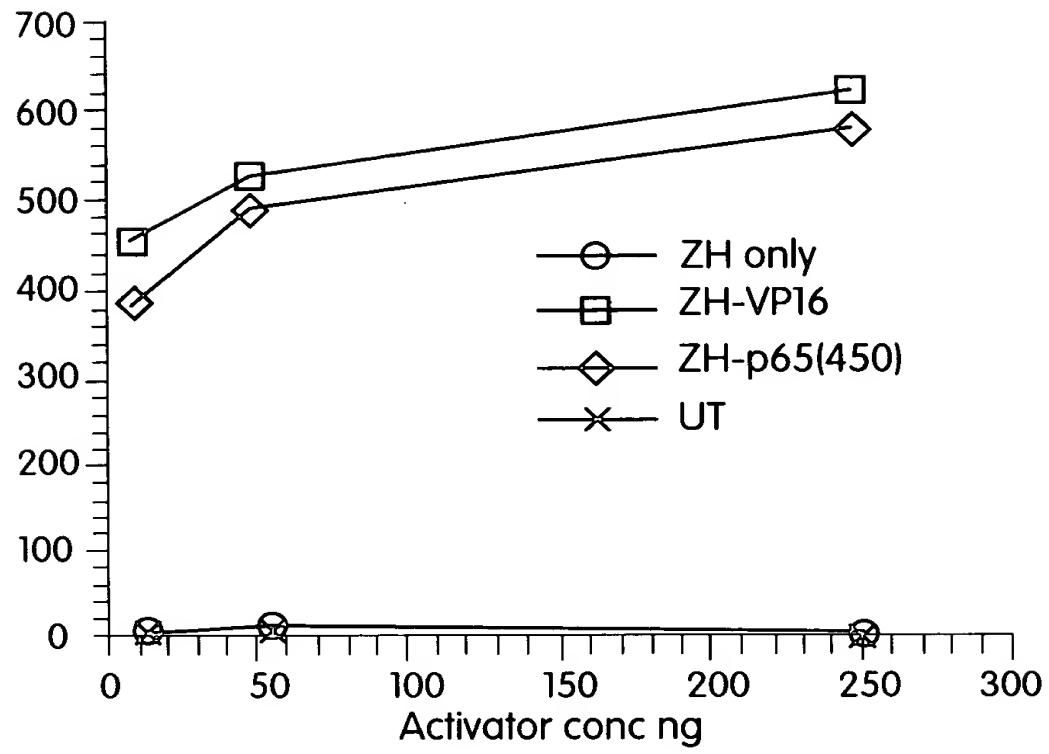


Fig. 4A

ZHFx3 / FK1012 / Fx3-Act. Domain

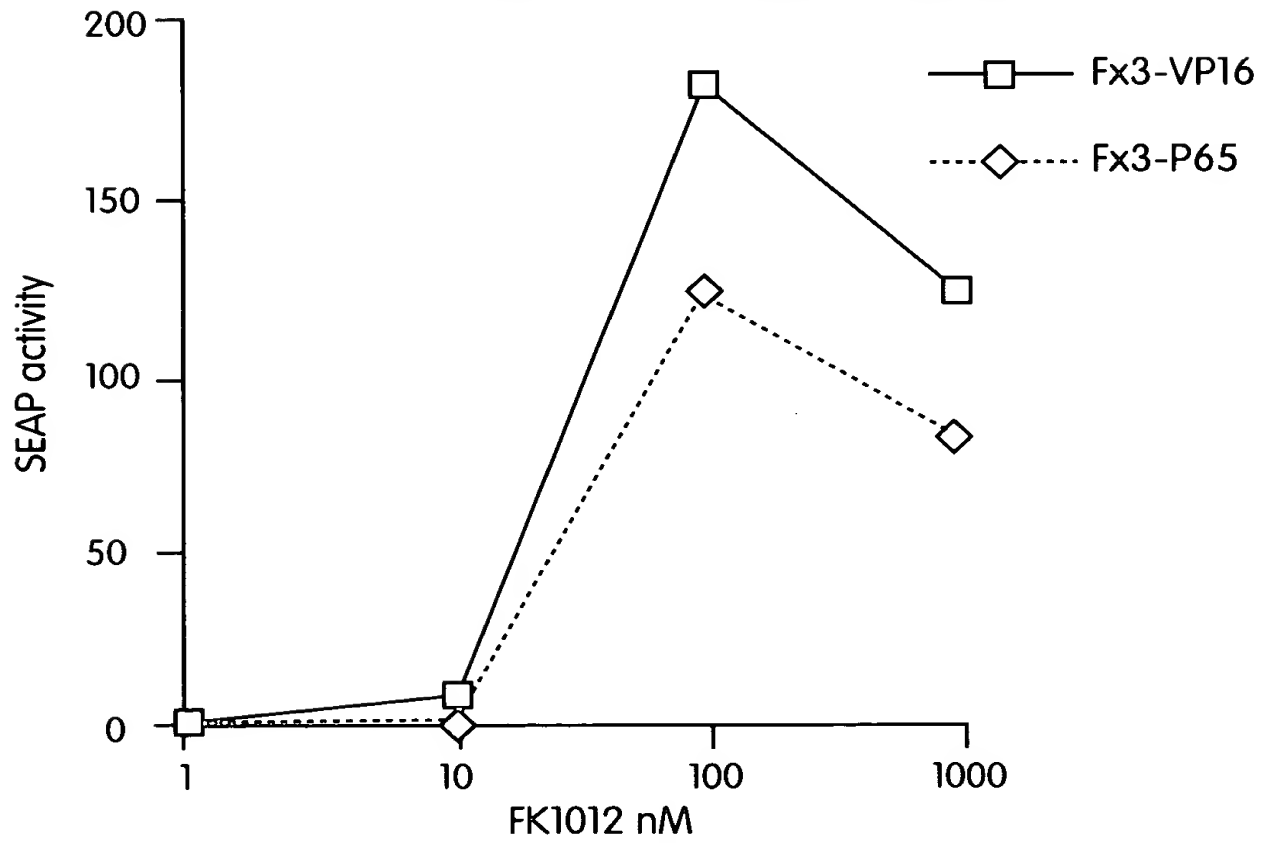


Fig. 4B

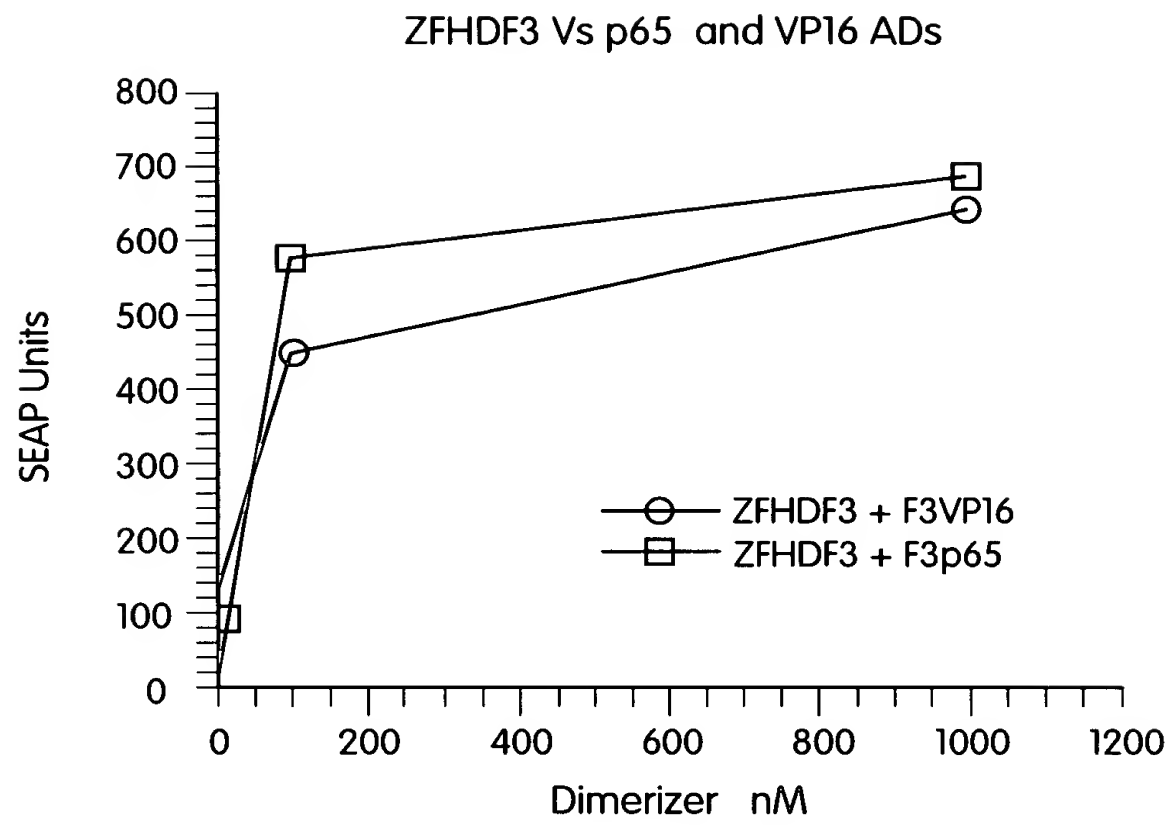


Fig. 4C

TRANSCRIPTIONAL REGULATION BY RAPAMYCIN

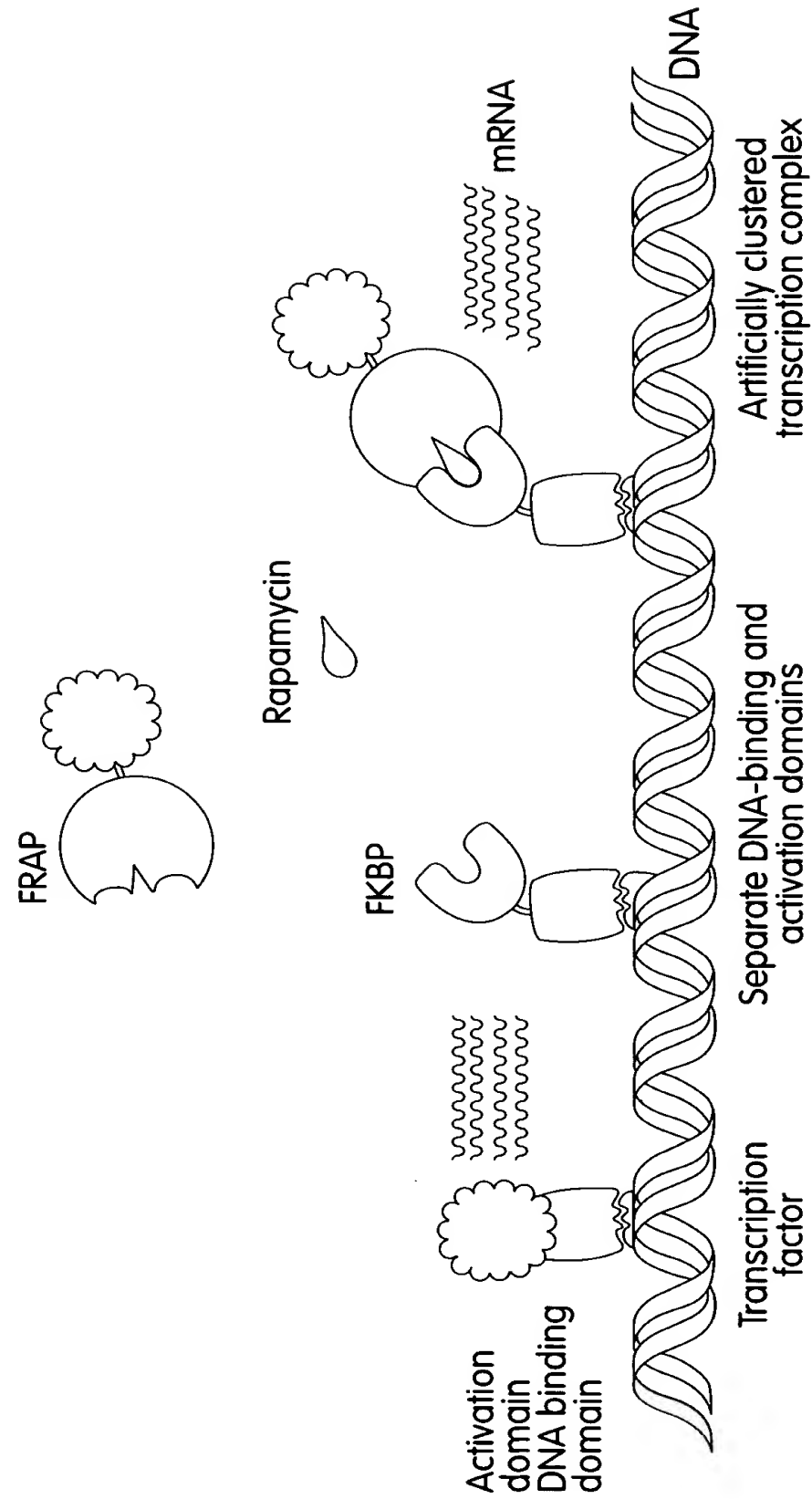


Fig. 5

Regulated Secretion Of Human Growth Hormone
From Engineered Human Cells In Response
To A Small-molecule Dimerizer *in Vivo*

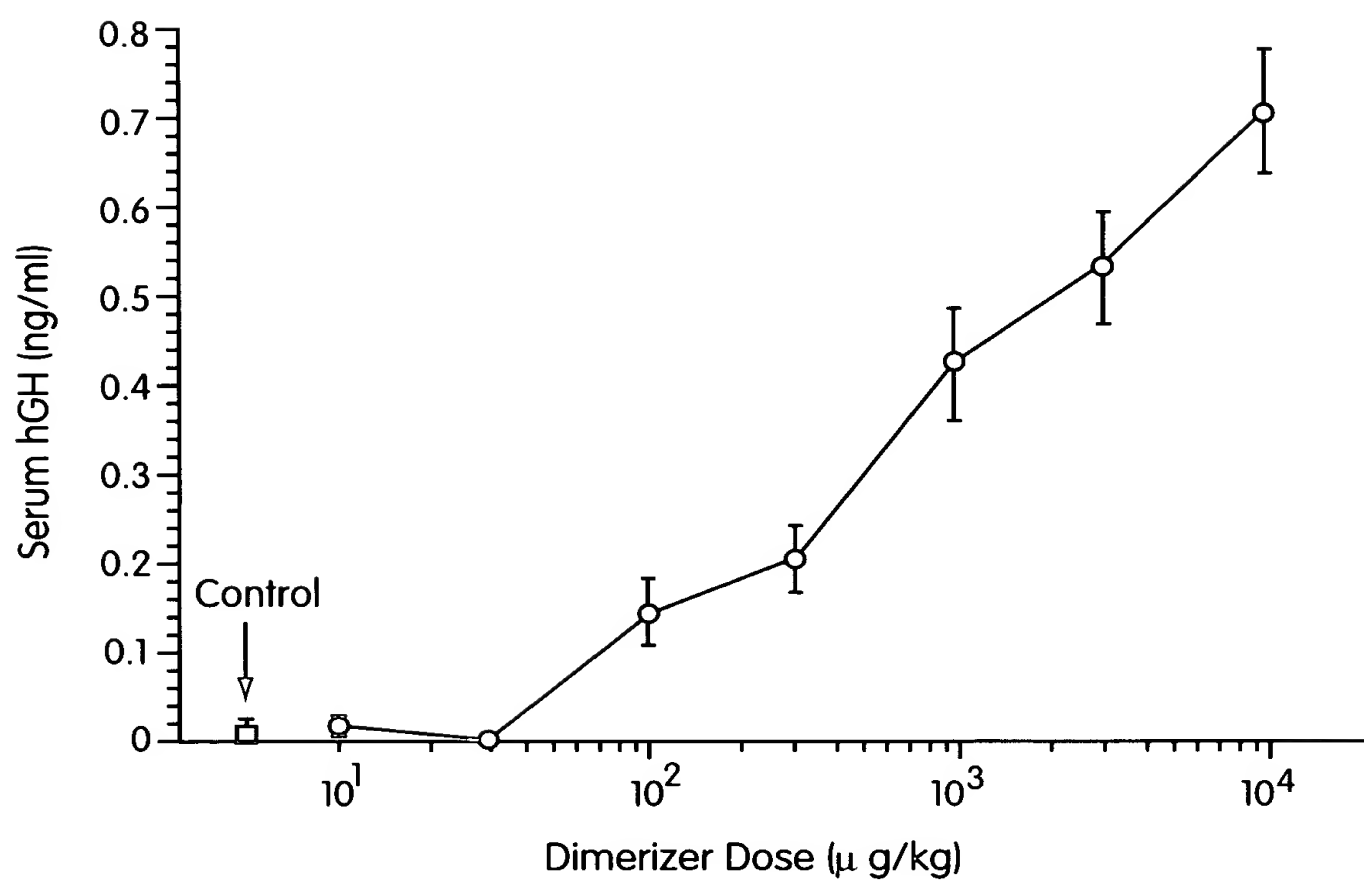


Fig. 6